

透過型走査電子顕微鏡の実時間収差補正システムの性能予測

指導教官：市川周一

学籍番号：023719 高橋翔

1 背景

電子顕微鏡は電子線で試料を照射し、電子レンズで結像させる装置である。電子レンズには球面収差が残存するため、像にボケが生じる(図1)。高分解能の電子顕微鏡を作成するには球面収差の補正が必須である。

動的ホローコーン照明による無収差結像法 [1][2] は、球面収差を除去した位相像・振幅像を観察する手法である(図3)。図3の信号処理部では、2次元画像に複素FFTをかけ、空間周波数を8の字状に抽出(図2)した後、逆FFTを行う。

本研究の目的は、信号処理部のチューニングを行い、収差補正システムの性能を見積もることである。

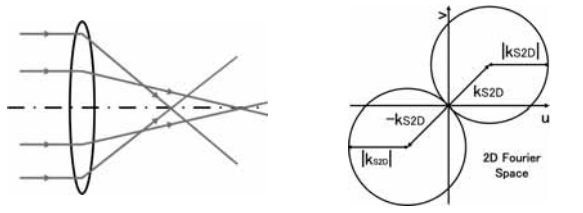


図1: 球面収差

図2: 8の字フィルタ [1]

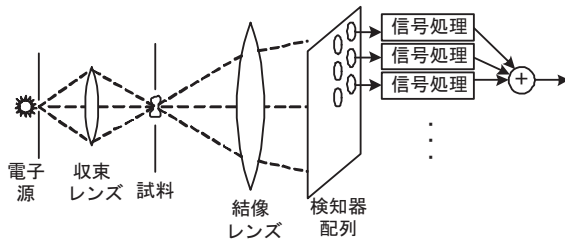


図3: システム概略図 [1][2]

2 FFT

まず2次元複素FFTのライブラリを調査し、4種について実機上で性能を測定した(表1)。Pentium4 2.4 GHz, RAM 512 MB, RedHat Linux 9.0の計算機を使用し、コンパイラにはicc7.1を使用している。以下、データサイズを1000×1000に固定し、最も高速なFFTW3 [3]を採用して、以下のチューニングを行う。

- ・単精度で計算
 - ・SSE/SSE2等のSIMD命令を使用
 - ・プランPATIENTを使用 [3] (プランとは、使用するアルゴリズムの選択、領域確保、領域初期化を行う処理である。デフォルトはプランMEASUREを使用する)
 - ・プラン作成時に、同時に計算する処理数Nを2以上に設定
- 上記手法を併用し1000×1000の処理時間を測定した(表2)。N=8, 単精度, プランPATIENT, SSEを併用した場合、実行時間は43msに短縮された。

表1: ライブラリ比較(単位ms)(倍精度)

| Library | Size | | | |
|------------|---------------------|---------------------|---------------------|---------------------|
| | 256×256 | 500×500 | 512×512 | 1000×1000 |
| FFTW 2.1.5 | 3.1×10 ¹ | 4.3×10 ¹ | 1.2×10 ² | 1.9×10 ² |
| FFTW 3.0.1 | 1.1×10 ¹ | 3.3×10 ¹ | 7.0×10 ¹ | 1.4×10 ² |
| MKL 6.1 | 1.1×10 ¹ | 5.0×10 ¹ | 5.0×10 ¹ | 2.2×10 ² |
| ACML 1.0r2 | 2.1×10 ¹ | 8.8×10 ¹ | 9.3×10 ¹ | 4.0×10 ² |

表2: FFTW3のチューニング(単位ms)(単精度)

| N | PATIENT | | MEASURE | |
|---|---------------------|---------------------|---------------------|---------------------|
| | SSE有 | SSE無 | SSE有 | SSE無 |
| 1 | 7.0×10 ¹ | 1.4×10 ² | 9.0×10 ¹ | 1.4×10 ² |
| 4 | 5.4×10 ¹ | 1.2×10 ² | 6.7×10 ¹ | 1.3×10 ² |
| 8 | 4.3×10 ¹ | 1.1×10 ² | 6.3×10 ¹ | 1.3×10 ² |

3 8の字フィルタ

文献 [1] に記載されているプログラム stemmda2.f から8の字フィルタ部分(図2)をC言語に移植した(プログラムP1)。P1の実行時間は2章と同じ環境で1.13×10³msであった。P1にicc付属のIntel Math Library等の単精度用ライブラリを導入し、アルゴリズムを改良したプログラム(P2)を作成した。P2の実行時間は3.0×10¹msに短縮された。

4 信号処理シミュレーション

本手法のシミュレーションプログラム stemmda2.f [1] をC言語に移植した(stemmda2.c)。stemmda2.cは球面収差を含むサンプル画像(解像度256×256, 検知器17×17個)を作成し、収差補正処理をシミュレートするものである。stemmda2.cに2章, 3章で示した改良を加えたプログラム custom.cも作成し、比較する。

逆FFT(IFFT)は線形演算であるため、stemmda2.c, custom.cの処理手順を図4から図5に変更できる。それぞれの処理時間を測定した結果を、表3に示す。単精度で図5の手法を採用した場合が一番高速で、このとき custom.cは stemmda2.cの2.0倍高速であった。

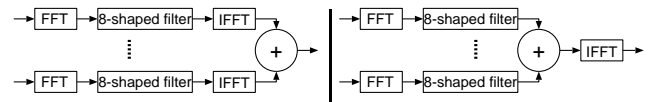


図4: 逆FFT後に加算

図5: 加算後に逆FFT

表3: 比較結果

| | 単精度 [sec.] | | 倍精度 [sec.] | |
|------------|------------|------|------------|------|
| | IFFT | IFFT | IFFT | IFFT |
| stemmda2.c | 9.1 | 4.4 | 19 | 8.1 |
| custom.c | 4.3 | 2.2 | 13 | 6.2 |
| 速度比 | 2.1 | 2.0 | 1.5 | 1.3 |

5 考察

表2より、単精度1000×1000の複素FFT/IFFT(N=8)は43msで処理できる。また、1000×1000の8の字フィルタは30msで処理できる(3章)。よって図3の信号処理部は合計116msで実行できる。目標時間(30ms)で処理するには3.9倍の高速化が必要である。近年のCPUの速度向上は1年で1.58倍である [4] から1000×1000の信号処理を実時間処理できるのは $\frac{\log 3.9}{\log 1.58} \sim 3$ 年後と予想される。

次に4章の結果から、解像度256×256のシステムの性能を予測する。信号処理は図5の手法(単精度)とする。全ノードの出力を加算する時間を T_{Σ} , IFFTの時間を T_{IFFT} (表1より11ms)とすれば、n台のノードを使用した場合の処理時間Tは、

$$T = \left\lceil \frac{289}{n} \right\rceil \frac{2.2}{289} + T_{\Sigma} + T_{IFFT} \quad (sec.)$$

16ノード使用した場合 $T = 0.16 + T_{\Sigma} (sec.)$ となる。 T_{Σ} が十分小さなシステムであれば、最大6コマ/秒で観察が可能である。

参考文献

- [1] 生田 孝: “画像処理による収束光学系収差補正機構を持つ透過型走査光学顕微鏡の試作,” 科研費報告書 基盤 (B)(2) 11555021 (2001)。
- [2] 志水 隆一, 生田 孝: “走査型顕微鏡装置,” 特許 3035612 (2002)。
- [3] FFTW Home Page, <http://www.fftw.org/>。
- [4] Hennessy, Patterson: “Computer Architecture: A Quantitative Approach,” Morgan Kaufman (1996)。